



### AX2108 系列 DC/DC 升压转换器

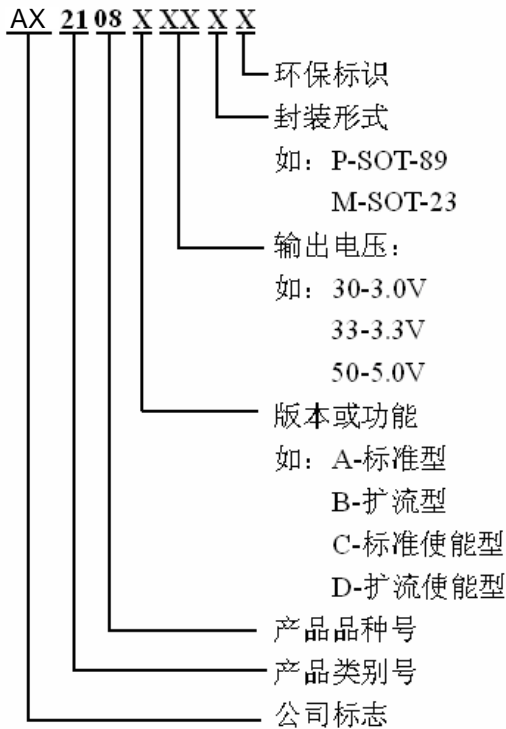
#### 描述:

**AX2108 系列** DC/DC 芯片是采用 CMOS 工艺制造的低静态电流的 PFM 开关型 DC/DC 升压转换器。该系列芯片采用先进的电路设计和制造工艺，极大地改善了开关电路固有的噪声问题，减小对周围电路的干扰。输出电压为 2.0V~7.0V(按 0.1V 的级差)，振荡频率为 180KHz(典型值)。对内置开关晶体管的 AX2108Xxx，组成 DC/DC 升压电路只需接三个外围元件，一只肖特基二极管、一只电感和一只电容。带 CE 端的 AX2108Cxx，具有关断功能，可使芯片功耗达到最小。该系列芯片适用于低噪声、较大电流的电池供电设备。

#### 特点:

- 只需少量的外接元件: 仅一只肖特基二极管、一只电感和一只电容
- 低纹波及低噪声
- 工作电压范围: 0.9V~6.5V
- 带载能力强: 当 Vin=3.0V 且 Vout=5.0V 时 Iout=400mA
- 输出电压范围: 2.0V~7.0V(步长 0.1V)
- 输出电压高精度: ±2.5%
- 低启动电压: 最高值为 0.9V(输出电流为 1mA 时)
- 最大工作频率: 180KHz(典型值)
- 高效率: 典型值为 85%
- 封装尺寸: SOT-23, SOT-89

#### 选型指南:

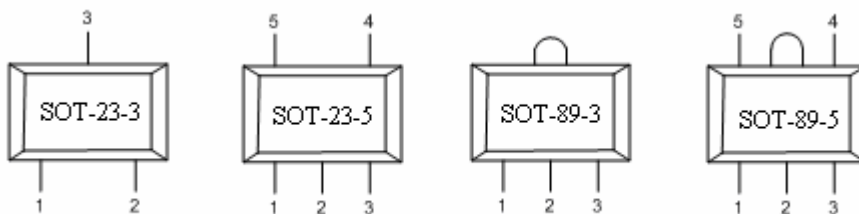


#### 应用:

- 电池供电设备的电源部分
- 无线鼠标、无线键盘、照相机、摄像机、VCR、PDA、手持电话、电动玩具等便携式设备的电源部分
- 要求提供电压比电池所能提供电压高的设备的电源部分

型号	后缀	封装	开关晶体管	CE 端	Vdd 端	FB 端	特点
AX2108Axx	M3	SOT-23-3L	内置	No	No	No	标准型
	P	SOT-89-3L					
AX2108Bxx	M3	SOT-23-3L	外置	No	No	No	扩流型
	P	SOT-89-3L					
AX2108Cxx	M5	SOT-23-5L	内置	Yes	No	No	标准使能型
	P	SOT-89-5L					
AX2108Dxx	M5	SOT-23-5L	外置	Yes	No	No	扩流使能型
	P	SOT-89-5L					
AX2108F	M5	SOT-23-5L	外置	No	Yes	Yes	扩流可调输出型

引脚排列图:



引脚分配:

AX2108Axx

引脚号		符号	引脚描述
SOT-23-3	SOT-89-3		
1	1	Vss	接地引脚
3	2	Vout	升压输出引脚
2	3	Lx	开关引脚

AX2108Bxx

引脚号		符号	引脚描述
SOT-23-3	SOT-89-3		
1	1	Vss	接地引脚
3	2	Vout	升压输出引脚
2	3	Ext	扩流引脚

AX2108Cxx

引脚号		符号	引脚描述
SOT-23-5	SOT-89-5		
4	5	Vss	接地引脚
2	2	Vout	升压输出引脚
5	4	Lx	开关引脚
1	3	CE	使能端
3	1	NC	空

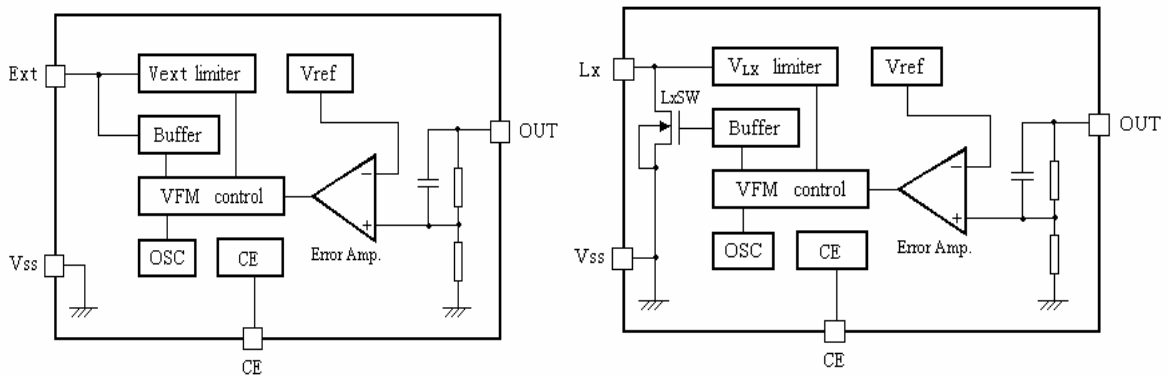
AX2108Dxx

引脚号		符号	引脚描述
SOT-23-5	SOT-89-5		
4	5	Vss	接地引脚
2	2	Vout	升压输出引脚
5	4	Ext	扩流引脚
1	3	CE	使能端
3	1	NC	空

AX2108Fxx

引脚号	符号	引脚描述
SOT-23-5		
1	FB	反馈端
2	Vdd	输入电压引脚
3	NC	空
4	Vss	接地引脚
5	EXT	扩流引脚

功能块框图:



极限参数:

参数	符号	极限值	单位
V <sub>IN</sub> 脚电压	V <sub>IN</sub>	6.5	V
L <sub>x</sub> 脚电压	V <sub>LX</sub>	6.5	V
EXT 脚电压	V <sub>EXT</sub>	-0.3~Vout+0.3	V
CE 脚电压	V <sub>CE</sub>	-0.3~Vout+0.3	V
L <sub>x</sub> 脚输出电流	I <sub>LX</sub>	600	mA
EXT 脚输出电流	I <sub>EXT</sub>	±30	mA
允许最大功耗	SOT23	Pd	300
	SOT89	Pd	500
工作温度	T <sub>Opr</sub>	-25~+85	°C
存储温度	T <sub>stg</sub>	-40~+125	°C
焊接温度和时间	T <sub>solder</sub>	260°C, 10s	



主要参数及工作特性:

(测试条件:  $V_{IN}=V_{out} \times 0.6$ ,  $V_{SS}=0V$ ,  $I_{OUT}=10mA$ ,  $T_{opt}=25^{\circ}C$ 。有特殊说明除外。)

AX 2108Axx/Cxx  $F_{osc}=180kHz$

符号	含义	测试条件	数值			单位
			最小	典型	最大	
$V_{OUT}$	输出电压		$V_{out} \times 0.975$	vout	$V_{out} \times 1.025$	V
$V_{start}$	启动电压	$I_{OUT}=1mA$ , $V_{IN}: 0 \rightarrow 2V$		0.8	0.9	V
$V_{hold}$	保持电压	$I_{OUT}=1mA$ , $V_{IN}: 2 \rightarrow 0V$		0.45		V
$I_{DD1}$	输入电流 1	无外部元件 $V_{out}=V_{out} \times 0.95$		50		$\mu A$
$I_{DD2}$	输入电流 2	$V_{out}=V_{out}+0.5V$		9		$\mu A$
$I_{LX}$	开关管合闸电流	$V_{LX}=0.4V$ , $V_{out}=V_{out} \times 0.95$		360		mA
$I_{LXleak}$	开关管漏电流	$V_{out}=V_{LX}=6V$			0.5	$\mu A$
$F_{osc}$	振荡频率	$V_{out}=set$ $V_{out} \times 0.95$		180		kHz
Maxdty	占空比	on( $V_{LX}$ “L”)side		84		%
$\eta$	效率			85		%

AX 2108Bxx/Dxx  $F_{osc}=180kHz$

符号	含义	测试条件	数值			单位
			最小	典型	最大	
$V_{OUT}$	输出电压		$V_{out} \times 0.975$	vout	$V_{out} \times 1.025$	V
$V_{start}$	启动电压	$I_{OUT}=1mA$ , $V_{IN}: 0 \rightarrow 2V$		0.8	0.9	V
$V_{hold}$	保持电压	$I_{OUT}=1mA$ , $V_{IN}: 2 \rightarrow 0V$		0.45		V
$I_{DD1}$	输入电流 1	无外部元件 $V_{out}=V_{out} \times 0.95$		80		$\mu A$
$I_{DD2}$	输入电流 2	$V_{out}=V_{out}+0.5V$		12		$\mu A$
$I_{LX}$	开关管合闸电流	$V_{LX}=0.4V$ , $V_{out}=V_{out} \times 0.95$		360		mA
$I_{LXleak}$	开关管漏电流	$V_{out}=V_{LX}=6V$			0.5	$\mu A$
$F_{osc}$	振荡频率	$V_{out}=set$ $V_{out} \times 0.95$		180		kHz
Maxdty	占空比	on( $V_{LX}$ “L”)side		84		%
$\eta$	效率			85		%

AX 2108F33  $V_{FB}=3.3V$ ,  $F_{osc}=180kHz$

符号	含义	测试条件	数值			单位
			最小	典型	最大	
Vfb	反馈电压		3.22	3.30	3.38	V
V <sub>start</sub>	启动电压	I <sub>OUT</sub> =1mA, V <sub>IN</sub> : 0→2V		0.8	0.9	V
V <sub>hold</sub>	保持电压	I <sub>OUT</sub> =1mA, V <sub>IN</sub> : 2→0V		0.45		V
I <sub>DD1</sub>	输入电流 1	无外部元件 V <sub>out</sub> =V <sub>out</sub> *0.95		80		μA
I <sub>DD2</sub>	输入电流 2	V <sub>out</sub> =V <sub>out</sub> +0.5V		10		μA
I <sub>LX</sub>	开关管合闸电流	V <sub>LX</sub> =0.4V, V <sub>out</sub> =V <sub>out</sub> *0.95		360		mA
I <sub>LXleak</sub>	开关管漏电流	V <sub>out</sub> =V <sub>LX</sub> =6V			0.5	μA
F <sub>osc</sub>	振荡频率	V <sub>out</sub> =set V <sub>out</sub> *0.95		180		kHz
Maxdty	占空比	on(V <sub>LX</sub> “L”)side		84		%
η	效率			85		%

注意：1、Diode 采用肖特基二极管(正向压降约 0.2V)，如 IN5817,IN5819

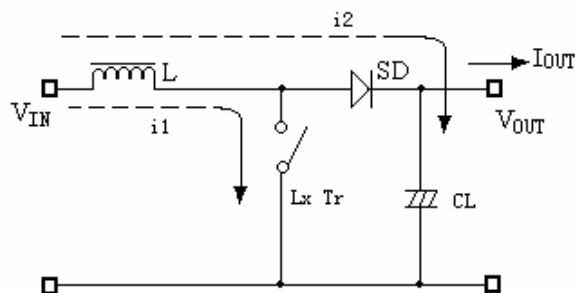
2、电感采用：33μH (r<0.1Ω)

3、电容采用钽电容：100uF

### 工作原理：

AX2108 系列升压转换器利用电感对能量的存储，并通过其与输入端电源共同的泄放作用，从而获得高于输入电压的输出电压。如下图：

开关式 DC/DC 升压转换器工作原理图



**外部器件的选择及注意事项:**

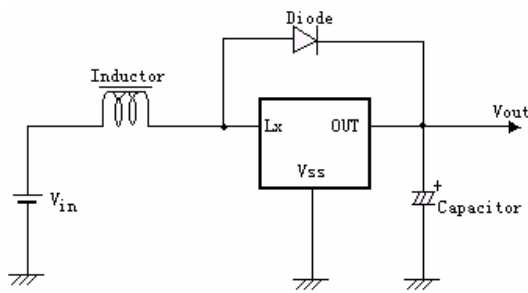
**外围电路对 AX2108 性能影响很大, 需合理选择外部器件:**

- 外接电容值不宜小于 10 $\mu$ F (电容值过小将导致输出纹波过大), 同时要有良好的频率特性 (最好使用钽电容)。此外, 由于 LX 开关驱动晶体管关断时会产生一尖峰电压, 电容的容压值至少为设计输出电压的 3 倍; (普通的铝电解电容 ESR 值过高, 所以可选购专门应用于开关式 DC/DC 转换器的铝电解电容, 如 OS-CON 电容。)
- 外接电感值要足够小以便即使在最低输入电压和最短的 LX 开关时间内能够存储足够的能量, 同时, 电感值又要足够大从而防止在最高输入电压和最长的 LX 开关时间时  $I_{LXMAX}$  超出最大额定值。此外, 外接电感的直流阻抗要小、容流值要高且工作时不至于达到磁饱和;
- 外接二极管宜选择具有较高切换速度的肖特基二极管。

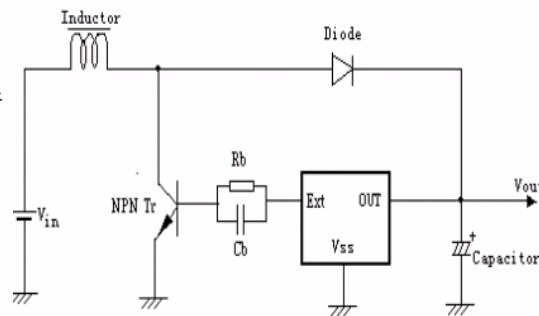
**PCBLayout 注意事项:**

- 外部元器件与芯片距离越小越好, 连线越短越好。特别是接到  $V_{OUT}$  端的元器件应尽量减短与电容的连线长度; 建议在芯片  $V_{OUT}$  和  $V_{SS}$  两端并接一 0.1 $\mu$ F 的陶瓷电容。
- $V_{SS}$  端应充分接地, 否则芯片内部的零电位会随开关电流而变化, 造成工作状态不稳定;

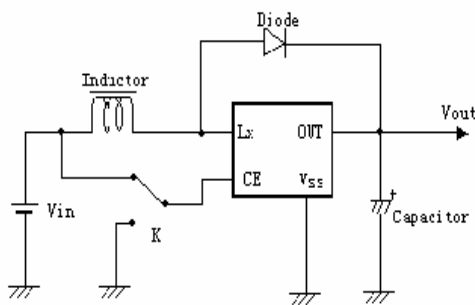
**典型应用:**



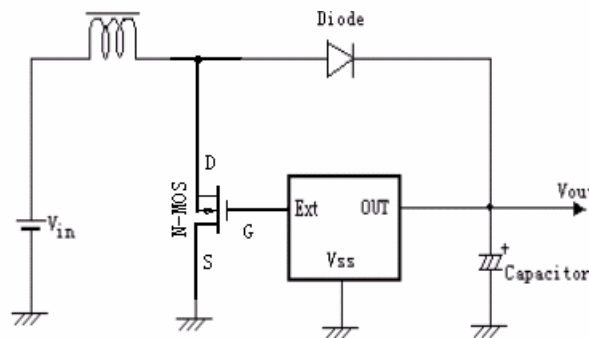
标准型产品使用示意图



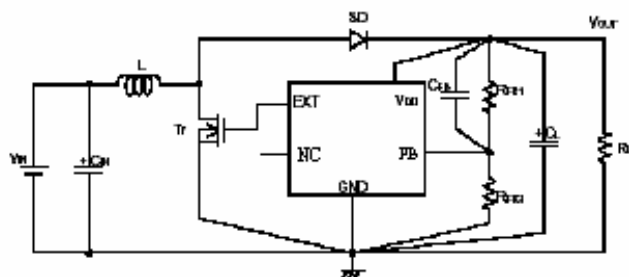
扩流型产品使用示意图



CE端使用示意图



扩流型产品使用示意图



可调扩流型产品使用示意图

元件：电感：33uH

电容：100uF/16V(钽电容)

NMOS：AAT9460、XP151、XP161

基极电容：2200pF

$R_{FB}$  :  $R_{FB1}/R_{FB2}=V_{out}/V_{FB}-1$  ( $V_{out}$ =规定输出电压) ,  $R_{FB1}+R_{FB2}\leq 2M\Omega$

$C_{FB}$  : 调整  $L, C_L$  , 使得  $F_{zfb}=1/(2\times\pi\times C_{FB}\times R_{FB1})$

二极管：IN5817、IN5819

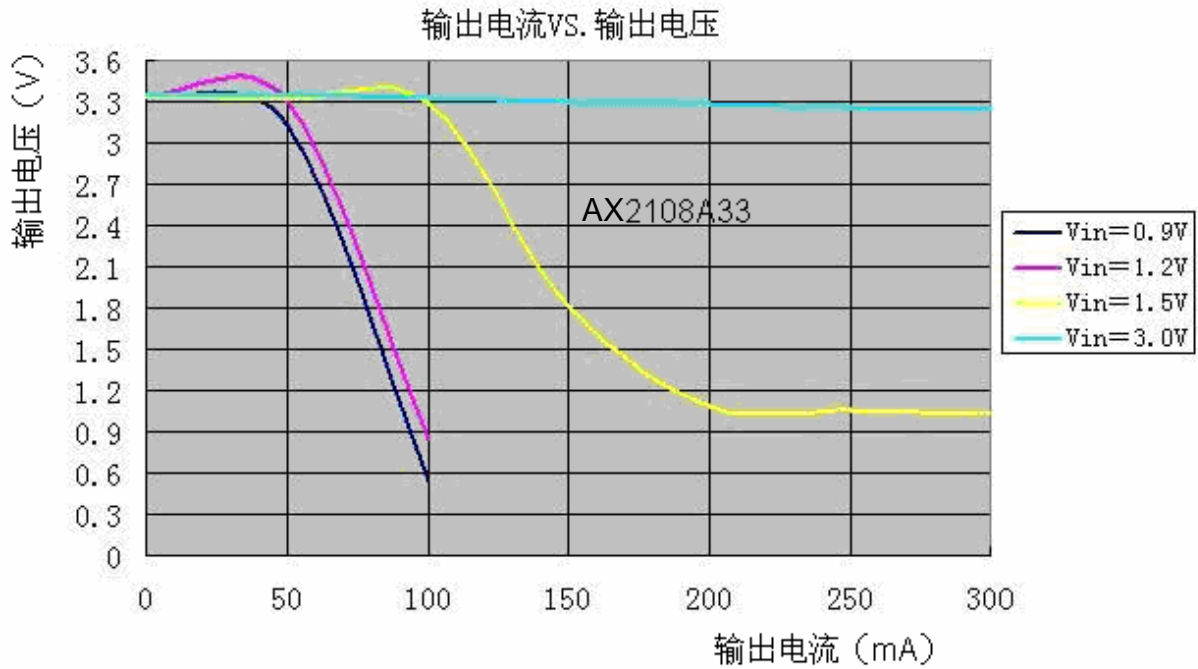
三极管：2SD1628G、2SD3279

基极电阻：1K $\Omega$

工作特性曲线:

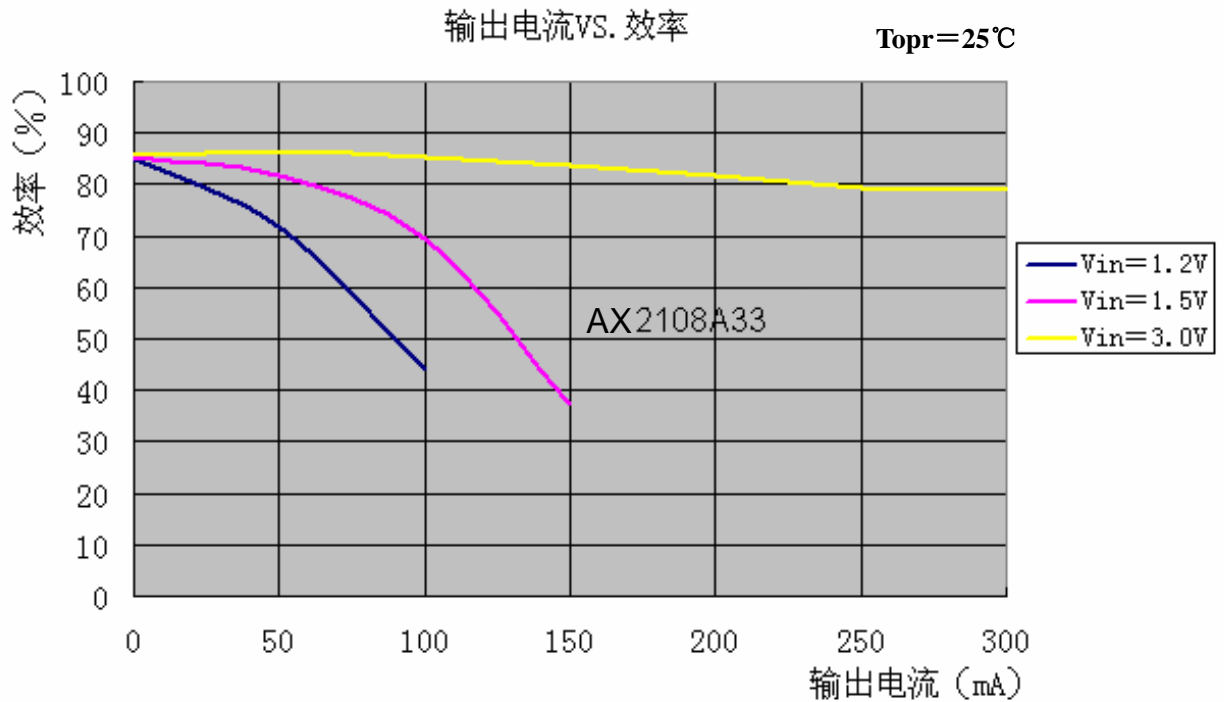
(1) 输出电压—输出电流:

$T_{opr}=25^{\circ}\text{C}$



(2) 效率—输出电流:

$T_{opr}=25^{\circ}\text{C}$

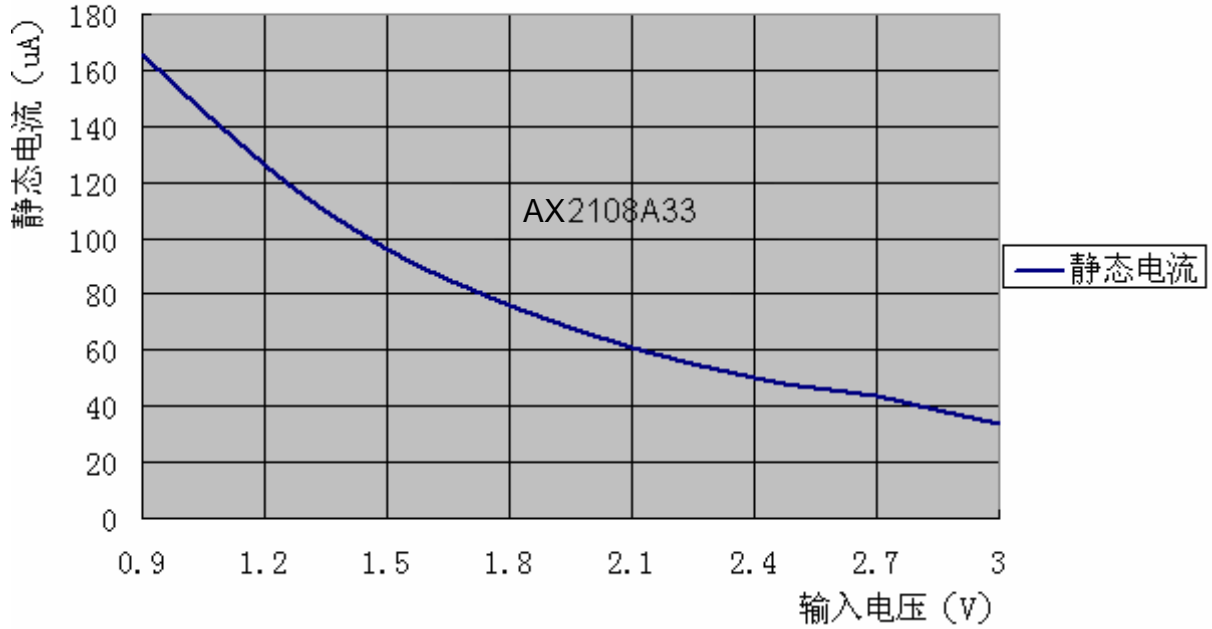




(3) 静态电流—输入电压:

Topr=25°C

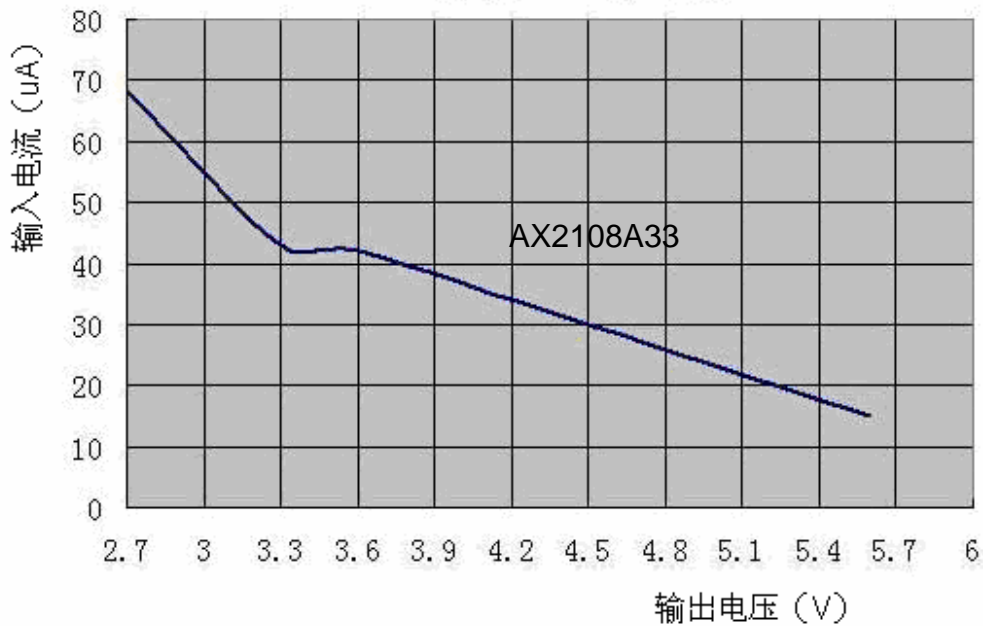
输入电压VS. 静态电流



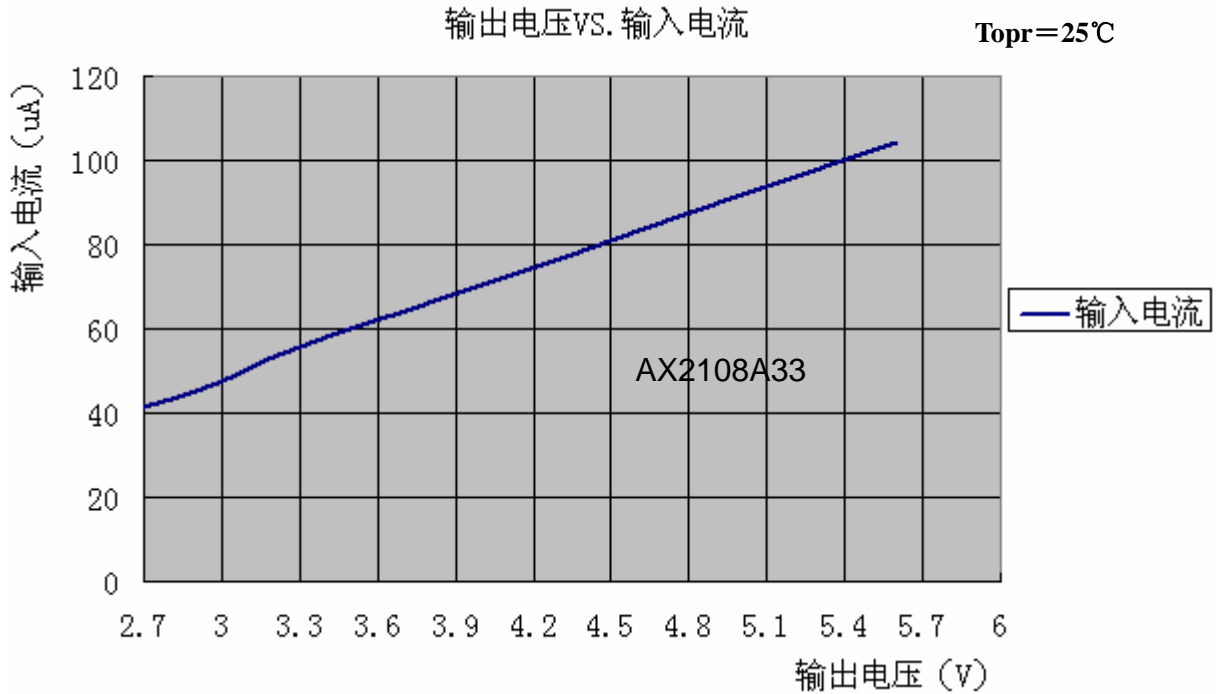
(4) 空载输入电流—输出电压: (L=47uH, Cout=47uF, Vout=100uF, SD: 1N5717/5819)

Topr=25°C

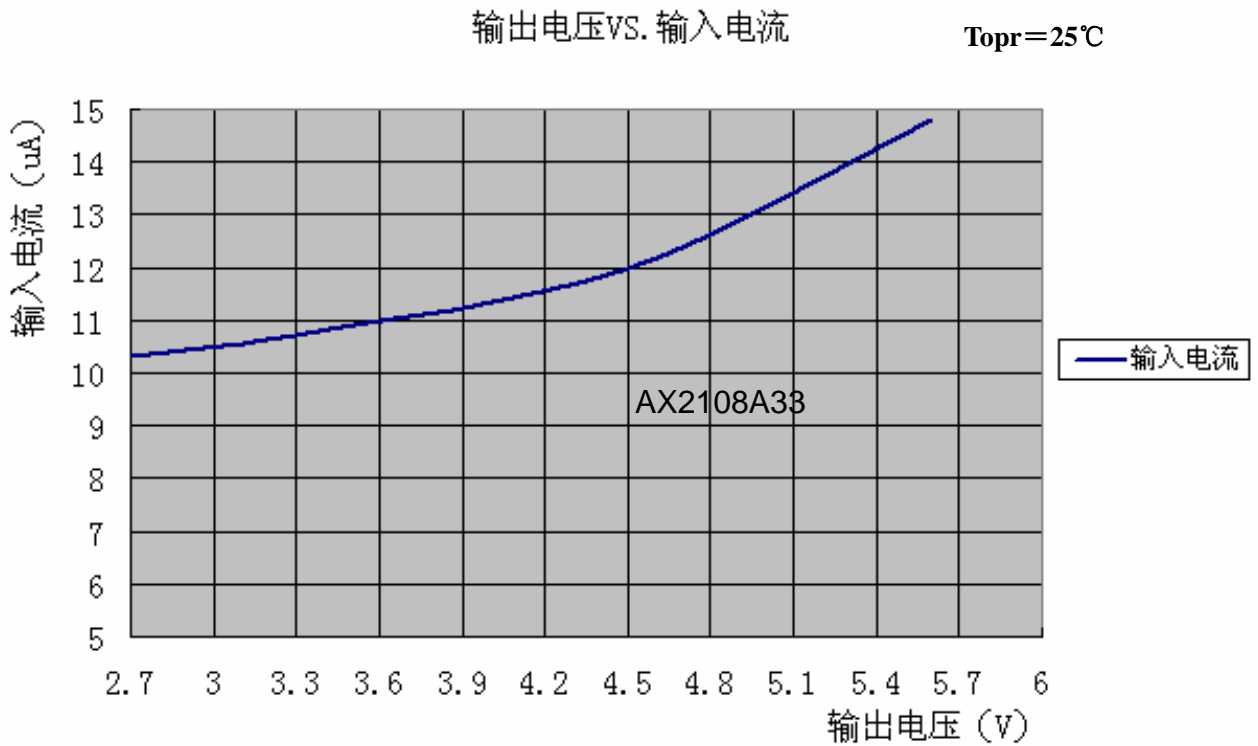
输出电压VS. 输入电流



(5) 输入电流 1—输出电压: ( $V_{DD}=V_{OUT} \times 0.95$ )



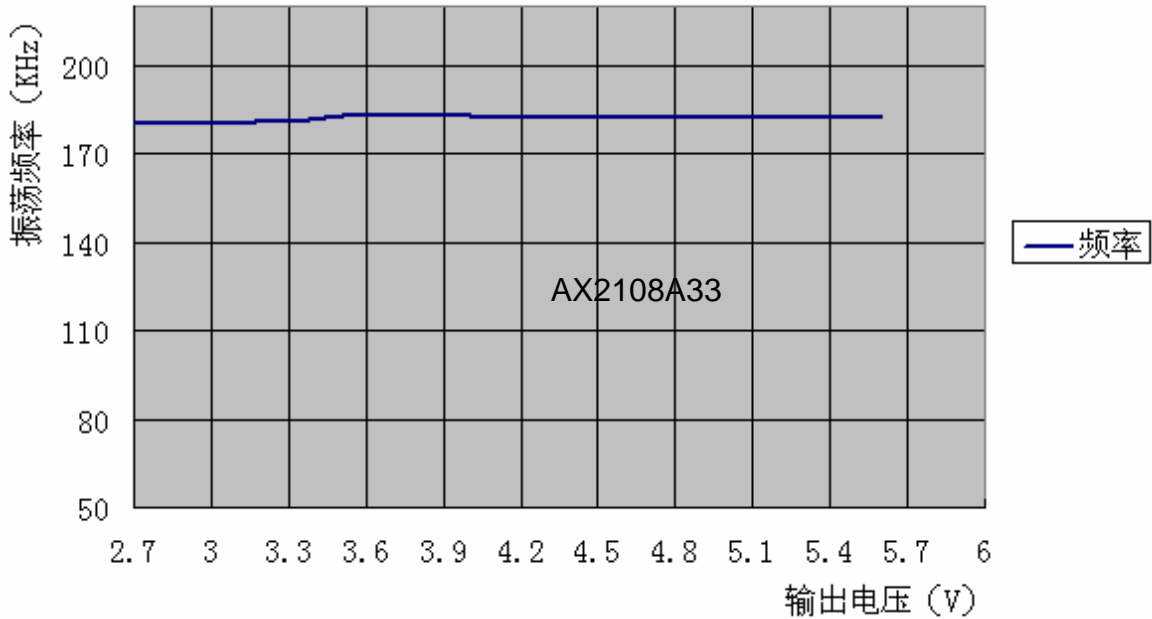
(6) 输入电流 2—输出电压: ( $V_{DD}=V_{OUT} + 0.5$ )



(7) 最大振荡频率—输出电压: ( $V_{DD}=V_{OUT} * 95\%$ )

$T_{opr}=25^{\circ}C$

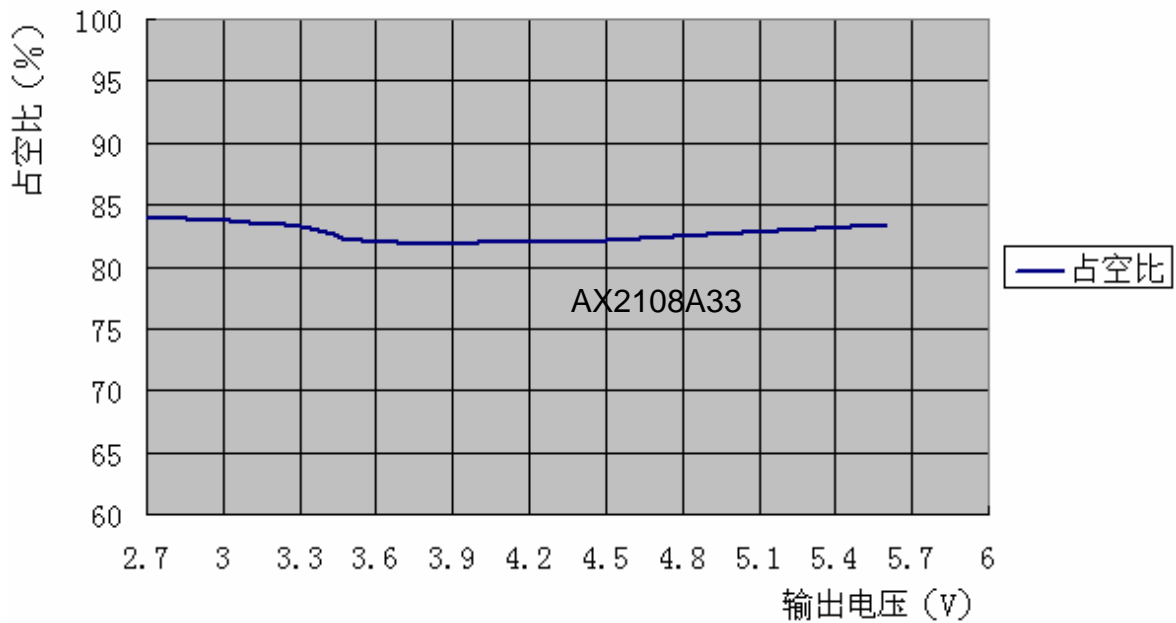
输出电压VS. 振荡频率



(8) 占空比—输出电压: ( $V_{DD}=V_{OUT} * 95\%$ )

$T_{opr}=25^{\circ}C$

输出电压VS. 占空比



封装尺寸:

